

· 研究论文 ·

新型二硫杂环戊烯硫酮化合物的合成及其对谷氨酸诱导损伤 HT22 细胞的保护作用

李玉姚^{1a}, 孙银星^{1a}, 程 坚^{1b}, 敖桂珍^{1a*}

(1. 苏州大学 a. 药学院; b. 神经科学研究所, 江苏 苏州 215123)

摘要: 在保留 ADT-OH 的 3H-1,2-二硫杂环戊烯-3-硫酮结构的基础上, 用芳乙烯基替换 4-羟基苯环, 设计并合成了 6 个二硫杂环戊烯硫酮化合物 ($L_1 \sim L_6$, 其中 L_2 , L_3 , L_5 和 L_6 为新化合物), 其结构经¹H NMR, ¹³C NMR 和 HR-MS (ESI) 表征。采用 MTT 法研究了 $L_1 \sim L_6$ 对谷氨酸诱导损伤的海马神经元 HT22 细胞的影响。药理初筛结果表明: 给药浓度为 $10 \sim 100 \mu\text{mol} \cdot \text{L}^{-1}$ 时, L_1 , L_2 , L_4 和 L_6 均能提高受损 HT22 细胞的存活率 ($P < 0.01$); 给药浓度为 $1 \mu\text{mol} \cdot \text{L}^{-1}$ 时, L_3 和 L_5 均可提高损伤 HT22 细胞的存活率 ($P < 0.01$)。

关 键 词: 5-对羟基苯基-3H-1,2-二硫杂环戊烯-3-硫酮; H_2S 供体; 二硫杂环戊烯硫酮化合物; 合成; 神经保护作用

中图分类号: O626.2

文献标志码: A

DOI: 10.15952/j.cnki.cjsc.1005-1511.2017.05.16278

Synthesis of Novel 3H-1,2-dithiole-3-thione Compounds and Their Protective Effects on Glutamic Acid-induced Damage of HT22 Cells

LI Yu-yao^{1a}, SUN Yin-xing^{1a}, CHENG Jian^{1b}, AO Gui-zhen^{1a*}

(a. College of Pharmaceutical Science; b. Institute of Neuroscience, 1. Soochow University, Suzhou 215123, China)

Abstract: The structure of ADT-OH was modified by replacing 4-OH phenyl with aryl vinyl, based on retaining its 3H-1,2-dithiocyclopentene-3-thione. Six 3H-1,2-dithiole-3-thione compounds ($L_1 \sim L_6$) were designed and synthesized. Among them, L_2 , L_3 , L_5 and L_6 were novel compounds. The structures were characterized by ¹H NMR, ¹³C NMR and HR-MS (ESI). Effects of $L_1 \sim L_6$ on glutamic acid-induced damage of HT22 cells were investigated by MTT method. The primary pharmacological results displayed that L_1 , L_2 , L_4 and L_6 significantly improved the survival rates of damaged HT22 cells at the concentration of $10 \sim 100 \mu\text{mol} \cdot \text{L}^{-1}$ ($P < 0.01$), L_3 and L_5 increased the survival rates of damaged HT22 cells at the concentration of $1 \mu\text{mol} \cdot \text{L}^{-1}$ ($P < 0.01$).

Keywords: ADT-OH; hydrogen sulfide donor; 3H-1,2-dithiole-3-thione compound; synthesis; neuroprotection

1996 年, Kimmura 发现内源性 H_2S 在大脑中扮演了神经调质的角色^[1]。此后, 诸多研究结果表明 H_2S 对神经调节具有多方面的生物效应, 如

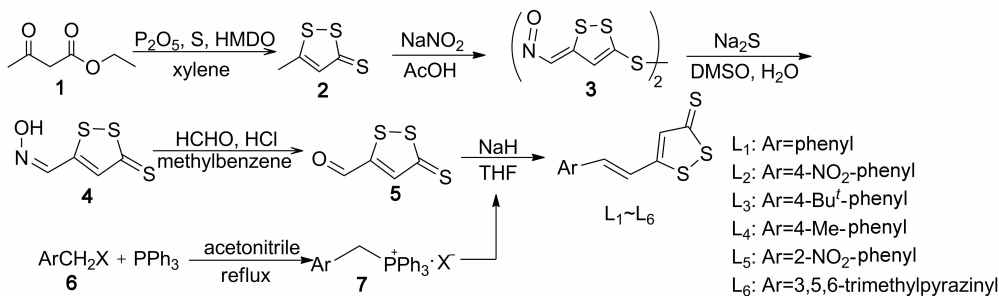
血管松弛^[2]、心肌缺血损伤保护^[3-4] 及氧化应激细胞保护等^[5]。新型 H_2S 供体的研究已成为化学与神经学交叉学科的热点之一^[6]。 H_2S 供体释

收稿日期: 2016-11-01; 修订日期: 2017-01-16

基金项目: 苏州市科技计划项目 (N313202713)

作者简介: 李玉姚(1989 -), 男, 汉族, 山东潍坊人, 硕士研究生, 主要从事药物合成的研究。E-mail: 18896587664@163.com

通信联系人: 敖桂珍, 副教授, E-mail: aoguizhen2007@sohu.com



放 H_2S 的机制多样, 其对神经系统的影响也不同。选择合适的 H_2S 供体对准确开展药理机制的研究具有重要意义。

5-对羟基苯基-3*H*-1,2-二硫杂环戊烯-3-硫酮(ADT-OH)为一种重要的硫化氢缓释供体。本课题组前期研究发现, ADT-OH能够保护谷氨酸损伤的HT22海马神经元细胞^[7]; 抑制脂多糖诱导的BV2小胶质细胞的炎症应答^[8]; ADT-OH衍生物ADT在小鼠脑中动脉堵塞模型上能减少脑梗死体积, 保护血脑屏障^[9]。在此基础上, 本文在保留ADT-OH的3*H*-1,2-二硫杂环戊烯-3-硫酮结构的基础上, 用芳乙烯基替换ADT-OH的4-羟基苯环, 设计并合成了6个二硫杂环戊烯硫酮化合物($\text{L}_1 \sim \text{L}_6$, Scheme 1), 其中 L_2 , L_3 , L_5 和 L_6 为新化合物, 其结构经 ^1H NMR, ^{13}C NMR和HR-MS(ESI)表征。采用MTT法研究了 $\text{L}_1 \sim \text{L}_6$ 对谷氨酸诱导损伤的海马神经元HT22细胞的影响。

1 实验部分

1.1 仪器与试剂

XT-5型显微熔点仪(温度未校正); ABI Varian UNTIY INOVA 400 MHz型核磁共振仪(CDCl_3 为溶剂, TMS为内标); ALT Micromass TOF-MS型质谱仪; Bio-Tek型酶标仪。

5-硫代-5*H*-1,2-二硫杂环戊二烯-3-甲醛(**5**)按文献^[10]方法合成; RPMI-1640培养基, MTT, Sigma公司; 胰蛋白酶, 吉诺生物医药技术有限公司; 其余所用试剂均为分析纯。

1.2 合成

(1) 三苯基膦盐(**7**)的合成

将**6** 4 mmol和三苯基膦1.049 g(4 mmol)加至乙腈(50 mL)中, 回流反应24~48 h。旋干得白色或淡黄色粉末状固体**7**。

(2) $\text{L}_1 \sim \text{L}_6$ 的合成(以 L_1 为例)

将**7** 325 mg(0.75 mmol)和氯化钠17 mg(0.7 mmol)加至无水THF(15 mL)中, 氮气保护, 搅拌下于0 °C反应1 h。加入**5** 80 mg(0.5 mmol)的无水THF(15 mL)溶液, 反应2 h。加水15 mL, 用乙酸乙酯(3×30 mL)萃取, 有机相减压蒸干, 残余物经硅胶柱层析(洗脱剂: 石油醚/乙酸乙酯=10/1, V/V)纯化得5-(2-苯乙烯基)-3*H*-1,2-二硫杂环戊二烯-3-硫酮(L_1)。

用类似的方法合成 $\text{L}_2 \sim \text{L}_6$ 。

L_1 : 黄色固体, 收率45%, m. p. 117~120 °C; ^1H NMR δ : 7.54(d, $J=6.5$ Hz, 2H, ArH), 7.45~7.40(m, 3H, ArH), 7.32(d, $J=16.1$ Hz, 1H, C=CH), 7.16(s, 1H, C=CH), 7.13(d, $J=16.2$ Hz, 1H, C=CH); ^{13}C NMR δ : 215.02, 169.78, 138.31, 137.61, 134.54, 130.45, 129.14, 127.76, 120.06; HR-MS(ESI) m/z : Calcd for $\text{C}_{11}\text{H}_8\text{S}_3$ {[M+H]⁺} 236.986 6, found 236.986 9。

L_2 : 黄褐色固体, 收率47%, m. p. 207~210 °C; ^1H NMR δ : 8.28(d, $J=8.7$ Hz, 2H, ArH), 7.70(d, $J=8.8$ Hz, 2H, ArH), 7.34(d, $J=16.2$ Hz, 1H, C=CH), 7.28(s, 1H, C=CH), 7.20(s, 1H, C=CH); ^{13}C NMR δ : 215.12, 167.58, 148.32, 140.59, 138.88, 134.92, 128.24, 124.42, 124.16; HR-MS(ESI) m/z : Calcd for $\text{C}_{11}\text{H}_7\text{NO}_2\text{S}_3$ {[M+H]⁺} 281.971 7, found 281.971 4。

L_3 : 黄色固体, 收率51%, m. p. 150~153 °C; ^1H NMR δ : 7.48(d, $J=8.5$ Hz, 2H, ArH), 7.43(d, $J=8.5$ Hz, 2H, ArH), 7.30(d, $J=16.1$ Hz, 1H, C=CH), 7.15(s, 1H, C=CH), 7.10(d, $J=16.1$ Hz, 1H, C=CH), 1.34(s, 9H, CH_3); ^{13}C NMR δ : 214.85, 170.22, 154.21, 138.29, 137.30, 131.80, 127.64, 126.12, 119.21, 34.96, 31.08; HR-MS(ESI)

表 1 $L_1 \sim L_6$ 对谷氨酸诱导损伤的小鼠海马神经元 HT22 细胞的保护作用Table 1 Effects of $L_1 \sim L_6$ on glutamic acid induced damage of HT22 cell

Comp	$\alpha/\%$				
	Glutamate *	$1 \mu\text{mol} \cdot \text{L}^{-1}$	$10 \mu\text{mol} \cdot \text{L}^{-1}$	$50 \mu\text{mol} \cdot \text{L}^{-1}$	$100 \mu\text{mol} \cdot \text{L}^{-1}$
L_1	18.14 ± 2.52	17.66 ± 2.17	$48.28 \pm 4.04^{**}$	$40.64 \pm 4.60^{**}$	$40.78 \pm 1.64^{**}$
L_2	20.62 ± 3.71	18.51 ± 2.67	$57.72 \pm 2.25^{**}$	$54.91 \pm 5.51^{**}$	$43.83 \pm 0.99^{**}$
L_3	18.40 ± 1.68	$56.57 \pm 3.49^{**}$	$35.29 \pm 2.59^{**}$	23.78 ± 1.78	$29.29 \pm 3.08^{**}$
L_4	22.35 ± 3.94	28.40 ± 5.65	$60.82 \pm 1.82^{**}$	$45.73 \pm 2.28^{**}$	$54.06 \pm 4.43^{**}$
L_5	22.17 ± 2.99	$35.38 \pm 7.96^{**}$	26.98 ± 3.94	16.20 ± 2.13	15.95 ± 2.22
L_6	20.84 ± 3.49	25.73 ± 5.68	$44.87 \pm 3.46^{**}$	$64.27 \pm 14.77^{**}$	$79.57 \pm 8.59^{**}$
ADT-OH	20.69 ± 1.25	33.42 ± 2.23	$52.18 \pm 3.48^{**}$	$103.99 \pm 4.62^{**}$	$76.43 \pm 2.78^{**}$

* $10 \text{ mmol} \cdot \text{L}^{-1}$; ** $P < 0.01$ vs glutamate group。

m/z : Calcd for $C_{15}H_{16}S_3 \{ [M + H]^+ \} 293.0492$, found 293.0486。

L_4 : 黄褐色固体, 收率 46%, m. p. 126 ~ 128 °C; ^1H NMR δ : 7.44(d, $J = 8.1$ Hz, 2H, ArH), 7.29(d, $J = 16.1$ Hz, 1H, C = CH), 7.22(d, $J = 8.0$ Hz, 2H, ArH), 7.15(s, 1H, C = CH), 7.09(d, $J = 16.1$ Hz, 1H, C = CH), 2.39(s, 3H, CH_3); ^{13}C NMR δ : 214.91, 170.20, 141.08, 138.43, 137.29, 131.85, 129.89, 127.78, 119.06, 29.69; HR-MS (ESI) m/z : Calcd for $C_{12}H_{10}S_3 \{ [M + H]^+ \} 250.9788$, found 250.9785。

L_5 : 黄色固体, 收率 42%, m. p. 195 ~ 198 °C; ^1H NMR δ : 8.10(d, $J = 8.2$ Hz, 1H, ArH), 7.87(d, $J = 16.0$ Hz, 1H, C = CH), 7.73 ~ 7.68(m, 2H, ArH), 7.61 ~ 7.56(m, 1H, ArH), 7.19(s, 1H, C = CH), 7.07(d, $J = 16.0$ Hz, 1H, C = CH); ^{13}C NMR δ : 215.26, 168.02, 138.76, 133.78, 133.19, 130.69, 130.36, 128.84, 125.32, 124.65; HR-MS (ESI) m/z : Calcd for $C_{11}H_7NO_2S_3 \{ [M + H]^+ \} 281.9717$, found 281.9721。

L_6 : 黄色固体, 收率 55%, m. p. 178 ~ 181 °C; ^1H NMR δ : 7.80(d, $J = 15.4$ Hz, 1H, C = CH), 7.45(d, $J = 15.4$ Hz, 1H, C = CH), 7.24(s, 1H, C = CH), 2.62(s, 3H, CH_3), 2.55(s, 3H, CH_3), 2.54(s, 3H, CH_3); ^{13}C NMR δ : 215.17, 169.09, 152.65, 150.16, 148.65, 142.47, 138.44, 131.86, 124.61, 22.07, 21.74, 20.70; HR-MS (ESI) m/z : Calcd for C_{12}

$H_{12}N_2S_3 \{ [M + H]^+ \} 281.0241$, found 281.0242。

1.3 化合物对谷氨酸诱导的 HT22 细胞损伤的保护作用测定^[7]

空白组只加培养基。谷氨酸组 HT22 细胞用 $10 \text{ mmol} \cdot \text{L}^{-1}$ 谷氨酸处理; 样品测试组用 $10 \text{ mmol} \cdot \text{L}^{-1}$ 谷氨酸和终浓度分别为 $1, 10, 50$ 和 $100 \mu\text{mol} \cdot \text{L}^{-1}$ 的受试化合物处理。用酶联测试仪测定波长 570 nm 处每孔的吸收度(OD 值), 计算细胞存活率 α ($\alpha = \text{实验组平均 OD 值}/\text{空白组 OD 值} \times 100\%$)。实验重复 3 次, 采用 SPSS 进行统计。

2 结果与讨论

2.1 合成

合成 L_2 时, 最开始采用的是 Knoevenagel 缩合法, 即 **2** 与对硝基苯甲醛在哌啶催化下, 回流进行缩合反应。化合物经 ^1H NMR 鉴定为 L_2 顺反异构体的混合物, M (反式) : M (顺式) = 3 : 1, 反应产率也较低(<20%)。采用该方法合成其他目标化合物时, 立体选择性也较差。最后改用 Wittig 缩合法, **5** 与 **7** 反应所得产物均为反式, 立体选择性较好。

2.2 化合物对谷氨酸诱导损伤的 HT-22 细胞保护作用

表 1 为 $L_1 \sim L_6$ 对谷氨酸诱导损伤的小鼠海马神经元 HT22 细胞的保护作用。由表 1 可见, 空白对照组的细胞存活率为 100%。glutamate 组的 HT-22 细胞单独经 $10 \text{ mmol} \cdot \text{L}^{-1}$ 谷氨酸处理

后,存活率<25%,说明 $10\text{ mmol}\cdot\text{L}^{-1}$ 谷氨酸已对HT-22细胞造成了损伤。样品组的HT-22细胞经 $10\text{ mmol}\cdot\text{L}^{-1}$ 谷氨酸和不同浓度的目标化合物处理后,细胞存活率均能够明显提高,说明 $\text{L}_1\sim\text{L}_6$ 可以保护谷氨酸诱导损伤的HT-22神经细胞。其中, L_1 , L_2 , L_4 和 L_6 的给药浓度为 $10\sim100\text{ }\mu\text{mol}\cdot\text{L}^{-1}$ 时,均可提高受损HT22细胞的存活率($40.64\%\sim79.57\%$)($P<0.01$),具有较好的神经保护作用,但低于ADT-OH。 L_5 只在低浓度($1\text{ }\mu\text{mol}\cdot\text{L}^{-1}$)时才表现出神经保护作用,细胞存活率为 35.38% ($P<0.01$)。 L_3 在用药浓度为 $1\text{ }\mu\text{mol}\cdot\text{L}^{-1}$ 时,HT22细胞存活率为 56.57% ,高于ADT-OH(33.42%), $P<0.05$,神经保护作用较强。

3 结论

合成了6个二硫杂环戊烯硫酮化合物($\text{L}_1\sim\text{L}_6$,其中 L_2 , L_3 , L_5 和 L_6 为新化合物)。采用MTT法研究了 $\text{L}_1\sim\text{L}_6$ 对谷氨酸诱导损伤的海马神经元HT22细胞的影响。药理初筛结果表明:给药浓度为 $10\sim100\text{ }\mu\text{mol}\cdot\text{L}^{-1}$ 时, L_1 , L_2 , L_4 和 L_6 均能提高受损HT22细胞的存活率($P<0.01$);给药浓度为 $1\text{ }\mu\text{mol}\cdot\text{L}^{-1}$ 时, L_3 和 L_5 均可提高损伤HT22细胞的存活率($P<0.01$)。 $\text{L}_1\sim\text{L}_6$ 具有较好的神经保护作用,对神经保护作用的研究具有一定意义。

参考文献

- [1] Abe K, Kimura H. The possible role of hydrogen sulfide as an endogenous neuromodulator [J]. Journal Of Neuroscience, 1996, **16**(3): 1066–1071.
- [2] Kohn C, Dubrovska G, Huang Y, et al. Hydrogen sulfide: Potent regulator of vascular tone and stimulator of angiogenesis [J]. International Journal of Biomedical Science, 2012, **8**(2): 81–86.
- [3] Lee Predmore B, Joseph L D, Gojon G. Hydrogen sulfide in biochemistry and medicine [J]. Antioxidants & Redox Signaling, 2012, **17**(1): 119–140.
- [4] King A L, Lefer D J. Cytoprotective actions of hydrogen sulfide in ischaemia-reperfusion injury [J]. Experimental Physiology, 2011, **96**(9): 840–846.
- [5] Kimura Y, Goto Y I, Kimura H. Hydrogen sulfide increases glutathione production and suppresses oxidative stress in mitochondria [J]. Antioxidants & Redox Signaling, 2010, **12**(1): 1–13.
- [6] Martelli A, Testai L, Marino A, et al. Hydrogen sulphide: Biopharmacological roles in the cardiovascular system and pharmaceutical perspectives [J]. Current Medicinal Chemistry, 2012, **19**(20): 3325–3336.
- [7] Cheng J, Ao G Z, Jia J, et al. Differential mechanisms underlying neuroprotection of hydrogen sulfide donors against oxidative stress [J]. Neurochemistry International, 2013, **62**(8): 1072–1078.
- [8] Ao G Z, Jia J, Cheng J, et al. CaMKK β -dependent activation of AMP-activated protein kinase is critical to suppressive effects of hydrogen sulfide on neuroinflammation [J]. Antioxid Redox Signal, 2014, **21**(12): 1741–1758.
- [9] Wang Y, Jia J, Ao G Z, et al. Hydrogen sulfide protects blood-brain barrier integrity following cerebral ischemia [J]. Journal Neurochemistry, 2014, **129**(5): 827–838.
- [10] Abazid M, Bertrand H O, Christen M O, et al. A general synthesis of new dithiolethione derivatives 5-(1-hydroxyimino alkyl)-1,2-dithiole-3-thiones and 5-acyl-1,2-dithiole-3-thiones [J]. Phosphorus Sulfur And Silicon And The Related Elements, 1994, **88**(1–4): 195–206.

热烈祝贺《合成化学》再次入选中国科学引文数据库

经过中国科学引文数据库(Chinese Science Citation Database,简称CSCD)的定量遴选、学科专家评审和中国科学引文数据库来源期刊遴选委员会的评议,《合成化学》再次被中国科学引文数据库(2017–2018年度)收录。